

روشی سازگار با محیط‌زیست در تهییه ابرجاذب زیستی بر پایه کربوکسی متیل سلولز

فائزه عسکری^۱، امید رمضانی^{۲*}، اسماعیل رسولی گرمارودی^۲، سید رحمان جعفری پتروودی^۲ و فرانک محمد کاظمی^۲

^۱ دانشآموخته کارشناسی ارشد مهندسی صنایع خمیر و کاغذ، دانشکده مهندسی فناوری های نوین، دانشگاه شهید بهشتی، زیراب

^۲ استادیار گروه مهندسی فناوری تولید سلولز و کاغذ، دانشکده مهندسی فناوری های نوین، دانشگاه شهید بهشتی، زیراب

تاریخ پذیرش: ۹۵/۲/۲۷

تاریخ دریافت: ۹۴/۸/۹

An Environmentally-friendly Approach for Producing a Bio-superabsorbent based on Carboxymethyl Cellulose

Faezeh Askari¹, Omid Ramezani^{2*}, Esmail Rasooly Garmaroodi², Seyed Rahman Djafari Petrooudi² & Faranak Mohammadkazemi²

¹ MSc. Student of Pulp and Paper Technology, Faculty of New Technologies Engineering, Shahid Beheshti University, Zirab

² Assistant Professor, Department of Cellulose and Paper Technology, Faculty of New Technologies, Shahid Beheshti University, Zirab

Abstract

Contamination of the environment by various pollutants has been one of the most important concerns of environmental scientists over the last decade. Water insoluble hydrophilic polymers with contaminants' surface absorption potential are considered as new materials for the control and removal of pollutants. Carboxymethyl cellulose (CMC) powder with a purity of 87.7 % and 0.5 degrees of substitution (DS) was utilized in the current research project. The aim was to produce a superabsorbent through an environmentally-friendly approach based on bio-based materials. First, in order to insolubilize CMC powder, a wide range of temperature and time were experimented on among which combinations of temperatures of 165, 175 and 180 °C and time periods of 45, 60 and 90 minutes were selected, respectively. Then, a certain amount of heat-modified samples were weighed and dispersed in water and citric acid as a cross-linking agent was added with 0.1, 0.3, 0.5, 2, 3.5, 5, 10, 15 and 20 addition levels based on polymer weight. The samples were evaluated through the Tea Bag, Ionic Sensitivity, Absorption under load (AUL), Deformability and Swelling Kinetic tests. The results showed that heat treatment reduced the consumption of the cross-linking agent in which the highest absorption capacity was observed in low cross-linker addition levels in all tests.

Keywords: Hydrogel, Carboxymethyl cellulose, Heat treatment, Superabsorbent.

چکیده

آلوده شدن محیط زیست توسط انواع آلاینده‌ها یکی از مهم‌ترین دغدغه‌های دانشمندان عرصه محیط‌زیست در دهه اخیر است. پلیمرهای آب‌دوست غیرقابل حل در آب با قابلیت جذب سطحی آلاینده‌ها، یکی از مواد نوین در کنترل و حذف آلاینده‌ها محسوب می‌شوند. در این تحقیق، پور کربوکسی متیل سلولز (CMC) دارای درصد خلوص ۸۷/۷ درصد و درجه استخلاف ۰/۵ استفاده شد. هدف تولید یک ابرجاذب به روشنی سازگار با محیط زیست و بر پایه مواد زیستی بود. ابتدا به منظور نامحلول‌سازی پودر CMC، بازه‌های گستردگی از دما و زمان آزموده شد که از آن میان ترکیب دمای ۱۶۵، ۱۷۵، ۱۸۰، ۱۸۵، ۱۷۵، ۱۶۵ و ۱۵ درجه انتخاب شدند. سپس، مقدار ترتیب زمان‌های ۹۰، ۶۰ و ۴۵ دقیقه انتخاب شدند. مشخصی از هر یک از شرایط اصلاح حرارتی توزین و با آب مخلوط شد و عامل اتصال‌دهنده اسید سیتریک با مقدار ۰/۱٪ اضافه شد. این ترکیب از هر یک از شرایط اصلاح حرارتی شده اضافه شد. در ادامه نمونه‌ها در شرایط مشخص زمان و دما خشک شدند. نمونه‌های تولیدشده تحت آزمون‌های کیسه چای، حساسیت یونی، جذب تحت بار، تغییر شکل و اندازه‌گیری زمان تورم قرار گرفته و ارزیابی شدند. نتایج نشان داد که انجام اصلاح حرارتی با موققتیت توانست نیاز به مصرف اتصال‌دهنده عرضی را برطرف ساخته بهطوری که حداکثر مقدار جذب در کلیه آزمون‌های مورد بررسی در مقادیر اندک افزودن عامل اتصال‌دهنده عرضی مشاهده شد.

کلمات کلیدی: هیدروژل، کربوکسی متیل سلولز، اصلاح حرارتی، ابرجاذب.

* Corresponding Author. E-mail Address: O_Ramazani@sbu.ac.ir

۱- مقدمه

اترهای سلولزی مانند: متیل سلولز (MC)، هیدروکسی پروپیل متیل سلولز (HPMC)، اتیل سلولز (EC) و سدیم کربوکسی متیل سلولز (Na-CMC) تولید شوند که در این میان از مشتقان سلولزی به طور گسترده برای تولید آنها استفاده می‌شود [۶].

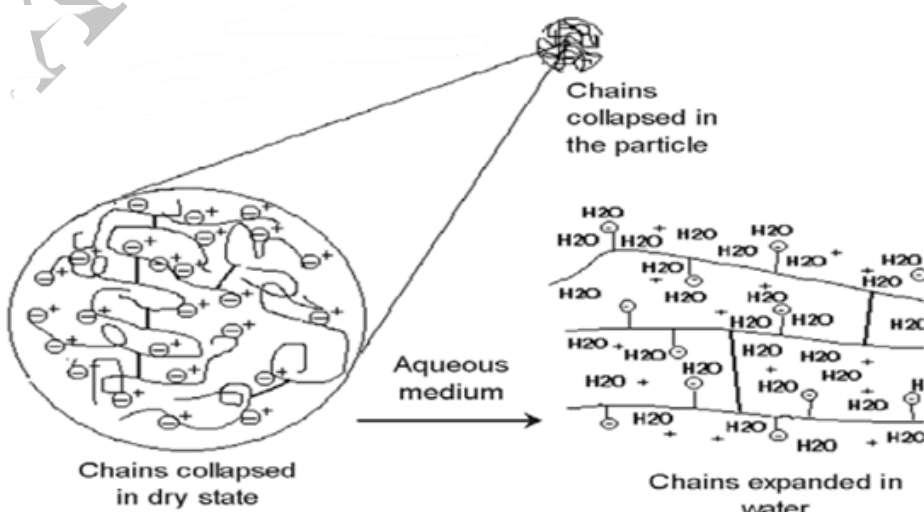
از میان مشتقان سلولزی ذکر شده در بالا تنها سدیم کربوکسی متیل سلولز یک پلیالکتروولیت بوده و می‌تواند به تغییرات pH و قدرت یونی حساس باشد. در واقع سدیم کربوکسی متیل سلولز مشتق سلولزی پرکاربرد و محلول در آبی است که در تولید هیدروژل‌های بر پایه سلولز، محصولی را فراهم می‌کند که در شبکه خود دارای الکتروولیتهاست. هستند که باعث می‌شوند قابلیت تورم دو برابر شود [۷].

عادل و همکاران [۸]، رفتار جذب هیدروژل ساخته شده از کربوکسی متیل سلولز با اپی کلروهیدرین به عنوان اتصال دهنده عرضی از ماده اولیه لینتر^۳ را بررسی و سپس اثر کربوکسی متیل سلولز و حرارت بر رفتار تورمی هیدروژل را ارزیابی کردند. نتایج نشان داد که تورم بهینه در واکنش اتری شدن لینتر پنبه در دمای ۴۰ درجه سانتی گراد بوده است. همچنین تورم هیدروژل به pH وابسته است به طوری که تورم آن در حمام‌های حرارتی افزایش می‌یابد و بالاترین تورم در محلول خنثی و قلیایی رخ می‌دهد. نتایج طیف سنجی SEM، FTIR، TG و DTG نشان داد که دمای اتری شدن در مدت زمان تولید کربوکسی متیل سلولز به مقدار زیاد به درجه استخلاف آن وابسته است و همچنین در دمای ۶۰ تا ۷۰ درجه سانتی گراد بالاترین میزان تورم در محلول قلیایی صورت می‌گیرد.

اخيراً با پيشرفت تكنولوجى مواد تاره و جديدي وارد بازار مى شوند که كاربردهای گوناگونی داشته و نيازهای جوامع را در زمينه های كشاورزی، پزشکی، رهایش و كنترل دارو، صنایع آرایشي و بهداشتی، تصفیه پساب صنعتی و كنترل آلاینده های زیست محیطي برآورده می کنند. يكى از پر كاربرد ترین اين مواد هيدروژل ها^۱ هستند. در واقع از نظر علمي ژل^۲ به ماده اى گفته مى شود که وقتی در حل مطلوب خود قرار مى گيرد، ضمن جذب حلal و ايجاد تورم، حل نشود [۱]. چنانچه ژل آب دوست باشد، آن را هيدروژل مى نامند. هيدروژل ها انواع متعدد دارند که يكى از آنها ابرجاذب ها^۳ هستند [۲].

ابرجاذب (هيدروژل)، شبکه پلیمری بهشت آب دوستی است که در آب بهشت متورم می شود، اما به دليل وجود تعداد انديکي پيوندهای عرضي، حل نمي شود. بناريان ابرجاذب، پلیمری با اتصالات عرضی است که گروههای عاملی آب دوست مانند OH⁻، NH₂⁺، COONa⁻، SO₃H⁻ و -COOH را نيز دارد؛ لذا برخلاف هيدروژل های معمولی، مى تواند مقادير فوق العادي زيادي آب جذب کند (شکل ۱) [۳].

هيدروژل به طور معمول از دو روش پلیمر شدن محلولی و تعليقي ساخته می شود که روش پلیمر شدن محلولی، رايچ ترين روش توليد ابرجاذب ها است [۴ و ۵]. هيدروژل های سلولزی، به دليل در دسترس بودن سلولز در طبيعت، تجزيه پذيری ذاتي سلولز و رفتار هوشمند آن توسيع برخی از مشتقان سلولزی، به مقدار زيادي گسترش پيدا كرده اند. اين هيدروژل ها به علت غير رسمي و تجزيه پذير بودن و هزينه كمتر، كاربردهای گسترده ای در زمينه كشاورزی، پزشکی، بهداشتی و غذائي پيدا كرده اند. هيدروژل های سلولزی برگشت پذير یا برگشت ناپذير بوده و مى توانند توسيع



شکل ۱- ساختار ابرجاذب متورم [۴]

هرکیولس^۴ طبق روش ابداعی خود کربوکسی متیل سلولز را تحت پیش‌تیمار حرارتی قرار داده، که در این پیش‌تیمار پودر کربوکسی متیل سلولز در دما و زمان‌های مختلف حرارت دیده و تیمار شده است. در اثر این پیش‌تیمار ساختار کربوکسی متیل سلولز تغییر یافته و از حالت محلول در آب به صورت نامحلول و پراکنده در آب تبدیل شده است.

در این تحقیق، از میان پیش‌تیمارهای موجود برای کربوکسی متیل سلولز، پیش‌تیمار حرارتی انتخاب شد که در این پیش‌تیمار پودر کربوکسی متیل سلولز در دما و زمان‌های مختلف تیمار شد. هدف از این تیمار کاهش میزان هیدروکسی اتیل سلولز در ابرجاذب و همچنین کاهش میزان افزودن اسید سیتریک به عنوان اتصال‌دهنده عرضی در ابرجاذب‌های تجاری است. از آنجا که نمونه‌های تجاری بیشتر از پلی‌آکریل آمید و اتصال‌دهنده عرضی دی‌ونیل سولفون ساخته شده که هر دواز مداد غیرزیست‌خریب‌پذیر، غیرقابل تجدید، سمی و نیز گران قیمت هستند، جایگزینی با ماده‌ای بر پایه سلولز بسیار توجیه‌پذیر است. در همین راستا، در پژوهش حاضر هیدروژل جدیدی از کربوکسی متیل سلولز اصلاح شده به روش حرارتی تولید شده تا امکان مطلوبیت اصلاح حرارتی در کاهش مصرف اتصال‌دهنده را بررسی کند.

۲- مواد و روش‌ها

برای انجام پیش‌تیمار حرارتی طبق روش ابداعی الیت در سال ۱۹۵۰، مقداری نمونه کربوکسی متیل سلولز را درون آون با دماهای مختلف ۱۰۵، ۱۳۵، ۱۷۵ و ۲۰۰ درجه سانتی‌گراد در زمان‌های ۴۲۰، ۳۶۰، ۶۰ و ۲۰ دقیقه حرارت دادند. هدف تولید پودری نامحلول با حفظ شرایط ظاهری بود. بعد از انجام تیمار حرارتی و انتخاب شرایط منتخب اصلاح دمایی، مقدار ۱ گرم از هر نمونه توزین و با آب محلوت شد و سپس اسید سیتریک با مقادیر ۰/۱، ۰/۳، ۰/۵، ۰/۲، ۰/۱۵ و ۰/۲۰ درصد نسبت به وزن پلیمر به نمونه‌های اصلاح نشده و اصلاح شده اضافه شد. خاطر نشان می‌شود برای مقایسه نتایج، سطوح بالای افزودن اسید سیتریک از تجربیات گذشته [۱۱-۱۳-۱۴] انتخاب شدند. با این حال از آنجاییکه هیچ پژوهشی در تولید ابرجاذب از نمونه‌های تیمار اصلاح حرارتی شده کربوکسی متیل سلولز صورت نگرفته بود و از سوی دیگر همان طور که پیشتر ذکر شد، یکی از اهداف پژوهش حاضر کاهش مصرف

آسترینی و همکاران [۹]، پارامترهای اتصال دهنده عرضی دی‌ونیل سولفون در هیدروژل سلولزی از ترکیب نمک سدیم کربوکسی متیل سلولز با هیدروکسی اتیل سلولز را بررسی کرده و سپس اثر ترکیب شیمیایی، دما و زمان واکنش در طول فرآیند اتصال عرضی بر روی مقدار جذب و تورم ارزیابی کردند. نتایج نشان داد که قابلیت جذب با افزایش دما و زمان واکنش افزایش یافت. به علاوه، اتصال عرضی حاصل از شبکه پلیمری CMCNa/HEC با نسبت وزنی ۱ به ۵ باعث کاهش پایداری حرارتی شده است و هیدروژل‌هایی با این نسبت وزنی در دمای واکنش ۶۰ درجه سانتی‌گراد به بالاترین ظرفیت جذب در آب مقطر می‌رسند. هارش و گرکه [۱۰]، ویژگی‌های تورمی هیدروژل‌های سلولزی حساس به حرارت را از ترکیب هیدروکسی پروپیل سلولز، متیل سلولز و هیدروکسی پروپیل متیل سلولز توسط اتصال‌دهنده عرضی بررسی کردند. نتایج نشان داد که این ژل‌ها در دمای بسیار پایین متورم و به تدریج با افزایش دما تورم کاهش می‌یابد و به طور کلی نوع پلیمر، تراکم پیوند عرضی و غلظت گروه یونی و دما بر روی درجه تورم و شکل‌گیری ژل تأثیر دارد. با این حال کاهش اتصال عرضی تاثیراندکی بر تورم در دمای بالا دارد و در مقابل افزایش گروههای یونی باعث افزایش تورم در همه دمایها می‌شود.

تمامی پژوهش‌های صورت‌گرفته درباره کربوکسی متیل سلولز از جمله موارد ذکر شده فوق از مشتق سلولزی قابل حل در آب و به حالت اولیه و تغییرنیافته بهره می‌برند که عمدتاً از ترکیب با هیدروکسی اتیل سلولز حاصل می‌شوند. زیرا در کربوکسی متیل سلولز کربن شماره ۶ با گروههای کربوکسیلی جایگزین شده است و تنها تعداد اندکی از گروههای هیدروکسیل کربن شماره ۶ و هیدروکسیل‌های با تمایل واکنش کمتر در کربن شماره ۲ و ۳ برای واکنشگر اتصال‌دهنده عرضی در دسترس هستند. به همین علت است که اتصال عرضی با کربوکسی متیل سلولز خالص ضعیف است و به دلیل دفع الکتروستاتیکی مانع از تماس‌های بین‌مولکولی می‌شود. لذا عامل اتصال‌دهنده عرضی به جای ایجاد اتصال عرضی مناسب صرفاً می‌تواند دو هیدروکسیل درون همان ماکرومولکول را اتصال دهد. در حالی‌که، هر واحد تکراری هیدروکسی اتیل سلولز گروههای هیدروکسیل بیشتری نسبت به کربوکسی متیل سلولز دارد. از این رو، در گیری‌های فیزیکی در نقاط اتصال عرضی افزایش یافته و باعث کاهش جذب هیدروژل تولیدی می‌شود [۱۱]. الیوت [۱۲] به عنوان نماینده شرکت پودرسازی

۲-۲- حساسیت یونی

طبق روش ظهوریان مهر و پور جادوی [۱۶]، محاسبه نسبت جذب محلول نمکی به وسیله ابرجاذب به جذب آب دیونیزه، به عنوان شیوه‌ای برای بیان حساسیت نمکی گزارش شده است که با کم کردن مقدار آن از عدد یک، به آسانی معیاری نسبی از حساسیت یونی یا نمکی به دست می‌آید و طبق رابطه ۲ محاسبه می‌شود:

$$(2) \quad 1 - \frac{\text{ظرفیت جذب}_{(g)}}{\text{جذب آب یون زدایی شده}} = \frac{\text{جذب محلول نمکی به وسیله ابرجاذب}_{(g)}}{\text{جذب آب یون زدایی شده}}$$

۳-۳- آزمون تحت بار (AUL):

واقعی‌ترین معیار اندازه‌گیری یک ابرجاذب، میزان تورم آن در یک محلول نمک تحت بار است. این معیار را به طور معمول با کمیتی موسوم به جذب تحت بار (بیشترین میزان جذب تحت بار) در محلول $0/9$ درصد سدیم کلرید اندازه‌گیری می‌کنند [۱]. طبق روش لیم در سال ۲۰۰۰، ابتدا صافی شیشه‌ای را درون ظرف پتروی قرار می‌دهند؛ سپس یک صافی یا توری پارچه‌ای را به وسیله بست فلزی به انتهای استوانه شیشه‌ای می‌بندند، و آن را روی صافی شیشه‌ای قرار می‌دهند؛ آنگاه $0/9$ گرم نمونه را به‌طور یکنواخت درون سیلندر، روی توری پارچه‌ای قرار داده و وزنه 200 گرمی را روی آن قرار داده سپس محلول $0/9$ درصد سدیم کلرید (NaCl) را داخل ظرف پتروی می‌ریزند به‌طوری که صافی شیشه‌ای، فقط تا سطح تماس با صافی پارچه‌ای در محلول غوطه‌ور شود [۱۷]. پس از رسیدن به تورم تعادلی (به مدت یک ساعت)، نمونه متورم شده تحت فشار وزن شده و مقدار عددی بیشترین میزان جذب تحت بار از معادله زیر به دست آمد [۱۸].

$$(3) \quad \text{وزن نمونه آزاد} - \text{وزن نمونه تحت بار} = \frac{\text{وزن نمونه آزاد}}{\text{وزن نمونه آزاد}} \times \text{بیشترین میزان جذب تحت بار}$$

۴-۴- آزمون تغییر شکل

این آزمون که به صورت کیفی و بصری و به صورت تجربی در کارخانه پرقو آمل انجام می‌شود به بررسی تغییر شکل هیدروژل تولیدشده می‌پردازد که در این آزمون ابتدا نمونه را درون محلول $0/9$ درصد سدیم کلرید قرار داده و پس از تورم آن را خارج کرده و با جسمی فلزی ضربه‌های مداومی به آن زده تا میزان تغییر شکل پذیری نمونه بررسی شود که در این آزمون میزان تغییر شکل پذیری به صورت

اتصال‌دهنده بود، مقادیر بسیار کم و غیرمعتارف از مصرف اتصال‌دهنده عرضی ($0/5$ ، $0/4$ ، $0/3$ ، $0/2$ ، $0/1$) نیز مورد آزمون قرار گرفت. محلول ساخته شده درون پتروی دیش ریخته و ابتدا در دمای 30°C به مدت 24 ساعت و سپس در دمای 80°C به مدت 24 ساعت قرار داده شد. پس از آن، نمونه‌ها به صورت فیلم‌های نازک از پتروی دیش جدا شد. برای بررسی ویژگی‌های هیدروژل‌های تولیدشده آزمون‌های زیر انجام شد و نتایج با یک نمونه تجاری که از کارخانه صنعتی پرقو آمل (تولیدکننده کاغذهای بهداشتی) تهیه شده بود مورد مقایسه قرار گرفت.

جدول ۱- دما و زمان تیمار حرارتی

دما $^{\circ}\text{C}$	۱۰۵	۱۲۵	۱۶۵	۱۷۵	۱۸۰	۲۰۰
زمان min						
۴۲۰	محلول	-	-	-	-	-
۳۶۰	محلول	-	-	-	-	-
۱۲۰	-	-	نامحلول	-	-	-
۶۰	-	-	-	نامحلول	-	-
۴۵	-	-	-	-	نامحلول	-
۲۰	-	-	-	-	-	جامد

۱-۲- آزمون کیسه چای

این آزمون مطابق روش پور جادوی [۱۵] با اندکی اصلاح انجام شد. در این روش به دلیل امکان جذب آب در شبکه کیسه چای و نیز در بند نخی مورد استفاده برای بستن درب کیسه، که باعث عدم دقت در اندازه‌گیری‌ها می‌شود، برای کاهش خطاهای مذکور در روش ذکر شده برای دو معادله ۱ و ۲ اصلاح مختصری صورت گرفت به‌ نحوی که ابتدا نمونه هیدروژل روی فویل آلومینیومی توزین و سپس نمونه مذکور بداخل کیسه چای منتقل و به مدت نیم ساعت درون محلول $0/9$ درصد سدیم کلرید قرار داده شد. پس از آن کیسه حاوی نمونه از محلول بیرون آورده و مایع اضافی آن از طریق آویختن کیسه تا یک زمان ثابت و معین خارج شد تا دیگر مایعی از آن فرو نچکد و پس از اطمینان از عدم وجود آب اضافی، هیدروژل متورم از داخل کیسه چای خارج و مجدداً روی همان فویل مذکور توزین و سرانجام از رابطه ۱ میزان جذب محاسبه شد.

$$(1) \quad \frac{\text{وزن اولیه هیدروژل} - \text{وزن ثانویه هیدروژل}}{\text{وزن اولیه هیدروژل}} = \text{ظرفیت جذب}_{(g/g)}$$

داشت. از سوی دیگر مشاهده شد که نمونه شاهد نیز استحکام بسیار کمی داشت و در اثر ضربه تغییر شکل کلی می‌داد و متلاشی می‌شد. جدول ۴ به مقایسه تغییر شکل پذیری نمونه‌های ابرجاذب در درصدهای منتخب اتصال‌دهنده عرضی در کربوکسی متیل سلولز تیمارشده می‌پردازد که در این قسمت به هر ویژگی شاخصی تحت عنوان استحکام زیاد، کم، مطلوب نسبت داده شده است.

جدول ۲ - آزمون تغییر شکل پذیری کربوکسی متیل سلولز
در دماهای ۱۶۵، ۱۷۵، ۱۸۰ درجه سانتی‌گراد

درصد اتصال‌دهنده					
۲۰	۵	۰/۵	۰/۱	بیش تیمارها	
زیاد	نسبتاً کم	کم	مطلوب	۱۶۵	
زیاد	نسبتاً کم	کم	مطلوب	۱۷۵	
زیاد	نسبتاً کم	کم	مطلوب	۱۸۰	

۲-۳- ظرفیت جذب در آزمون کیسه چای
شکل ۲ نتایج حاصل از آزمون کیسه چای هیدروژل‌های تولیدشده از کربوکسی متیل سلولز اصلاح شده را نشان می‌دهد. همان‌طور که دیده می‌شود سطح افزودن اسید سیتریک تا ۲۰ درصد، در هر سه دمای ۱۶۵، ۱۷۵ و ۱۸۰ درجه سانتی‌گراد از ظرفیت جذب کمتری برخوردار بود درحالی که نمونه‌های تیمارشده فاقد اتصال‌دهنده عرضی (نمونه شاهد) از ظرفیت جذب بیشتری برخوردار بودند. همان‌طور که در نمودار ۱۶۵ درجه سانتی‌گراد (شکل ۲-الف) مشاهده می‌شود نمودار دارای یک سیر نزولی است که نمونه شاهد دارای بیشترین مقدار ظرفیت جذب بوده است که با افزودن تنها ۰/۵ درصد اسید سیتریک مقدار جذب به ۵/۱۳ درصد رسیده است. ملاحظه می‌شود از میزان ۵ درصد به بعد با افزودن اسید سیتریک از تورم کاسته شده است، به‌طوری‌که در سطح افزودن ۲۰ درصد اسید سیتریک ظرفیت جذب در کمترین مقدار و ۰/۴۳ گرم برگرم است. در نمودار ۱۷۵ درجه سانتی‌گراد (شکل ۲-ب) نیز مشاهده می‌شود که نمونه شاهد دارای ظرفیت جذب ۱۵/۱۲ گرم برگرم است. افزودن ۱/۰ درصد اتصال‌دهنده عرضی اسید سیتریک موجب کاهش ظرفیت جذب به مقدار ۹/۲۵ گرم برگرم می‌شود که با افزایش میزان اتصال‌دهنده عرضی تا سطح افزودن ۰/۵ درصد اسید سیتریک ظرفیت جذب تا مقدار ۱۱/۲۲ گرم برگرم

کیفی و با عبارت استحکام و میزان استحکام نمونه‌های تولیدشده در درصدهای منتخب اتصال‌دهنده به صورت استحکام مطلوب، استحکام کم و استحکام زیاد بیان می‌شود.

۲-۵- اندازه‌گیری زمان-تورم

زمان-تورم از طریق اندازه‌گیری میزان تورم از نمونه‌ای که مایع را جذب کرده در فواصل زمانی متوالی به دست می‌آید [۱۹]. در این روش ابتدا مقدار نمونه ۱/۱ گرم و ۵۰ مش ۶۰ تا (۶۰) را درون بشر ۱۰۰۰ میلی‌لیتر یا فلاسک ۲ لیتری که حاوی آب مقطار یا محلول مورد نظر است قرار داده و در فواصل زمانی متوالی (به طور مثال، ۱۵، ۱۲۰، ۱۲۰، ۳۰، ۶۰، ۴۸۰، ۴۸۰، ۱۲۰۰۰، ۱۸۰۰۰ ثانیه) میزان جذب توسط نمونه را به روش الک اندازه‌گیری می‌کنند.

۳- نتایج و بحث

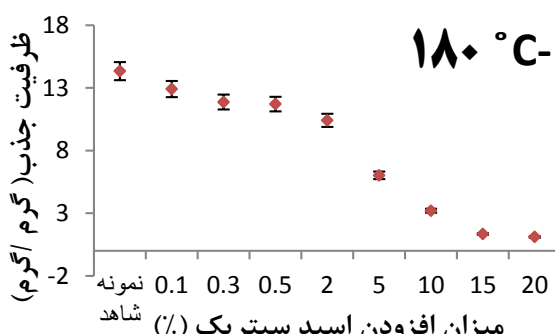
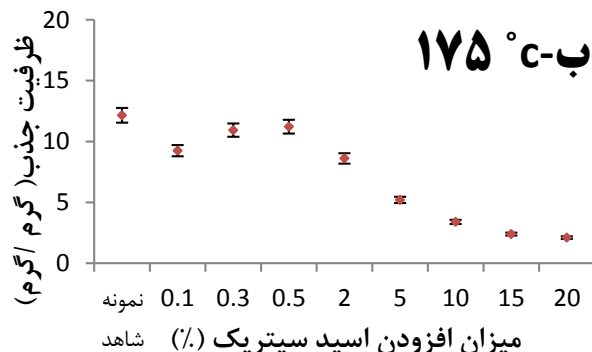
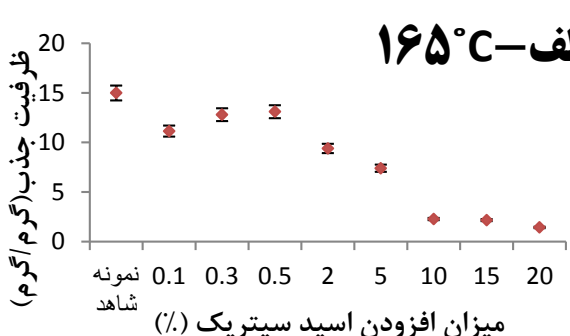
در این پژوهش کربوکسی متیل سلولز تحت اصلاح حرارتی در دماهای مختلف قرار داده شد که در تمام دماها عکس‌العمل‌های متفاوتی از خود نشان داد که براساس رفتارهای آن سه دمای ۱۶۵، ۱۷۵ و ۱۸۰ درجه سانتی‌گراد بهترین رفتار را نشان داد و انتخاب شد. نتایج حاصل از آزمون‌های انجام‌شده در جدول ۱ خلاصه شده است.

۳-۱- آزمون استحکام

در این آزمون تغییر شکل پذیری نمونه‌ها و استحکام آن‌ها بررسی می‌شود. استحکام بسیار کم و بسیار زیاد، ویژگی نامطلوبی برای هیدروژل محسوب می‌شود. زیرا هیدروژل در حالت اول توانایی بازگشت به شکل اولیه خود را در فرایند جذب و دفع آب نداشته و در حالت دوم امکان تورم لازم برای آن وجود نخواهد داشت. از اطلاعات حاصل از این آزمون چنین برداشت می‌شود که در مقادیر بالای سطح افزودن اتصال‌دهنده عرضی به عنوان مثال ۲۰، ۱۵، ۱۰ درصد، نمونه از استحکام بیش از حد لازم برخوردار بود که در اثر ضربه تغییر شکل جزیی از خود نشان داد. همچنین جالب توجه بود که در مقادیر کمتر از ۵ درصد اتصال‌دهنده (۵، ۳/۵، ۲، ۰/۵)، هیدروژل به دست آمده از استحکام بسیار کمی برخوردار بود، به‌طوری‌که در اثر آزمون و ضربه‌های ایجادشده تغییر شکل بیشتر از حد لازم نشان داد. اما در نمونه‌های سطح افزودن کمتر از ۰/۵ درصد اتصال‌دهنده عرضی، مشاهده شد که از استحکام مطلوبی برخوردار است به‌طوری‌که در اثر ضربه تغییر شکل جزیی و برگشت پذیر

با غلظت ۰/۱ صورت گرفته است. درنتیجه می‌توان استبیاط کرد که با افزایش میزان سطح اتصال دهنده عرضی میزان ظرفیت جذب کاهش می‌یابد و آنچه در نتایج حاصل از ویژگی ظرفیت جذب جالتوجه است تأثیر چشمگیر تیمار اصلاح حرارتی در کاهش قابل توجه مصرف اتصال دهنده عرضی است. این دستاورد با در نظر گرفتن سمی بودن بسیاری از اتصال دهنده‌های عرضی تجاری [۲۰] و عدم سازگاری با محیط زیست و آلاندگی آنها بسیار حائز اهمیت است. اعمال تیمار حرارتی باعث می‌شود که در اثر گرما، گروه‌های عاملی مناسب به طور معمول با یکدیگر واکنش تراکمی انجام داده و ضمن تشکیل پیوند کووالانسی عرضی، مولکول‌های متراکم‌شونده خارج می‌شوند. گروه‌های هیدروکسیل عموماً در چنین واکنشی شرکت می‌کنند، اما بسته به نوع پلی‌ساقارید، گروه‌های عاملی دیگر (مانند کربوکسیل، آمین، آمید) نیز می‌توانند ضمن وارد شدن در واکنش، به اتصال‌های عرضی محدودی منجر شوند. این اتصالات منجر به عدم انحلال و ایجاد یک ماده جاذب آب کافی می‌شوند [۲۱].

افزایش می‌یابد. با افزودن مقادیر بیشتر تا ۲۰ درصد، تغییرات این ویژگی در دمای ۱۷۵ درجه سانتی‌گراد مشابه دمای ۱۶۵ درجه است. اعمال اصلاح حرارتی در مقادیر بالاتر (۱۸۰ درجه سانتی‌گراد) موجب تغییر رفتار هیدروزئل در قیاس با موارد قبلی می‌شود به‌طوری‌که ظرفیت جذب این نمونه با افزایش میزان مصرف اتصال دهنده به‌طور خطی و یکسان کاهش می‌یابد (شکل ۲-ج). بیشترین میزان ظرفیت جذب مربوط به نمونه شاهد و برابر با ۱۴/۳۴ گرم بر گرم بوده که در سطح افزودن ۵ درصد اسید سیتریک ۱۱/۷۱ گرم بر گرم شده و در ۲۰ درصد ظرفیت جذب به مقدار ۱/۱۱ گرم بر گرم کاهش می‌یابد. خاطر نشان می‌شود ظرفیت جذب به روش کیسه چای در نمونه تجاری تهیه شده ۴۸/۴۲ گرم بر گرم است. با نگاهی به شکل مذکور می‌توان دریافت از آنچاکه روش کیسه چای میزان تورم نمونه‌ها در حالت آزاد را نشان می‌دهد، می‌توان نتیجه گرفت که با افزایش میزان اسید سیتریک در نمونه‌های اصلاح شده ظرفیت جذب (میزان تورم) در دماهای ذکر شده کاهش یافته و بیشترین میزان جذب نمونه اصلاح شده در اسید سیتریک



شکل ۲- تست کیسه چای هیدروزئل‌های ایجاد شده از کربوکسی متیل سلولز؛ (الف) دمای ۱۶۵، (ب) دمای ۱۷۵، (ج) دمای ۱۸۰ درجه سانتی‌گراد

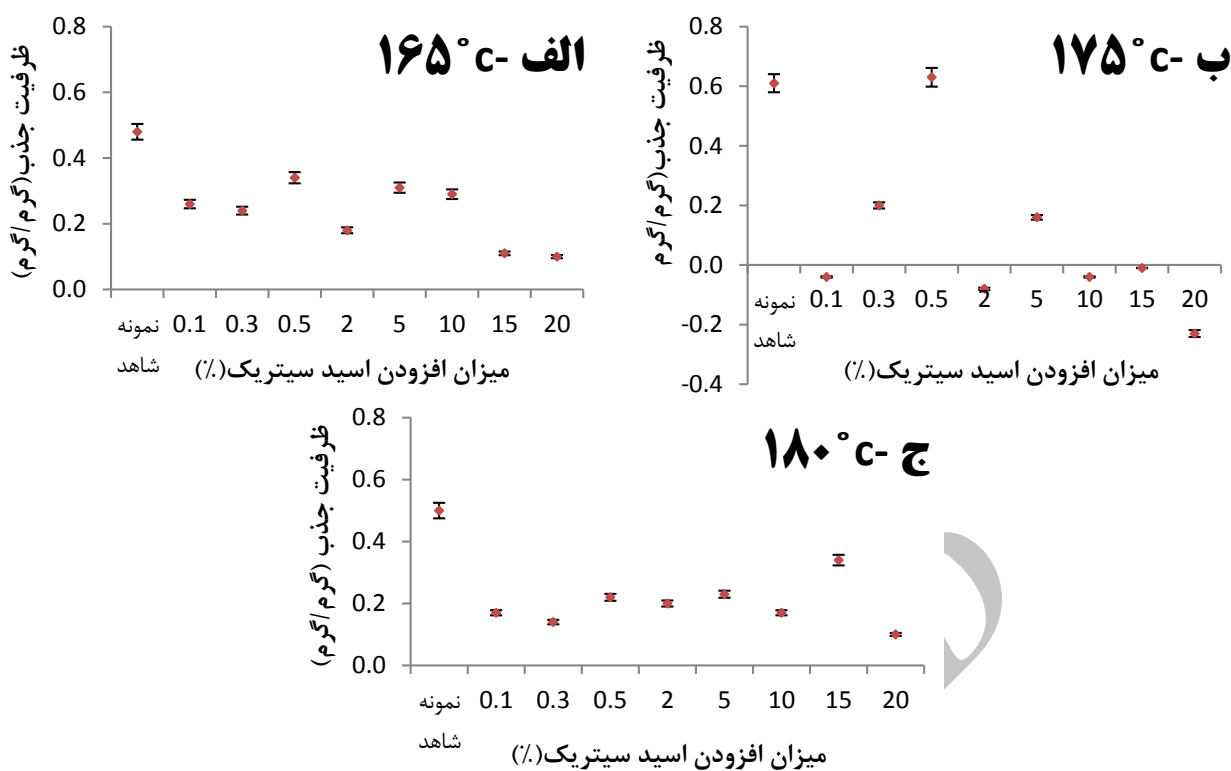
است. در نمودار ۱۸۰ درجه سانتی گراد (شکل ۳-ج) نیز مشاهده می شود که با افزایش اتصال دهنده عرضی میزان جذب از روند نزولی پیروی کرده به نحوی که در سطح ۲۰ درصد میزان جذب نسبت به ۵ درصد به $1/10$ گرم بر گرم رسیده که نشان دهنده این مطلب است که در دمای ۱۸۰ درجه سانتی گراد میزان جذب محلول نمک نسبت به آب کمتر است. به طور کلی ظرفیت جذب در دمای $^{\circ}C$ ۱۸۰ از بالاترین مقدار برخوردار است. در دمای $^{\circ}C$ ۱۷۵ در بعضی موارد مقدار ظرفیت جذب منفی گزارش شده است که این موضوع در سطح افروندن اسید سیتریک تا ۲۰ درصد بیشتر قابل روئیت است. نمونه تجاری در این تست از ظرفیت جذب $0/83$ درصد برخوردار است.

با توجه به کاربرد ابر جاذب های تجاری به ویژه در مصارفی همچون پوشک بچه، جذب بیشتر محلول های نمکی یا شاخص حساسیت یونی کمتر مطلوب تر است. به طور کلی هر چه میزان غلط اسید سیتریک کمتر باشد جذب محلول نمکی بیشتر و در نتیجه شاخص حساسیت یونی کمتر است. هر چه ظرفیت جذب به عدد یک نزدیک تر باشد به این معناست که در مقایسه با آب، حساسیت بیشتری نسبت به محلول نمکی دارد و آن را به میزان کمتر جذب می کند [۳]. درواقع جذب بیشتر آب مقطر به این دلیل است که هیدروژل تولیدی به راحتی با آب وارد واکنش شده و تشکیل پیوند هیدروژنی می دهد در حالی که در محلول نمکی جذب بیشتر تحت تأثیر پیوند شیمیایی وجود یون های آزاد است. به عبارتی ویژگی محلول های خارجی مانند قدرت یون های نمک و غلظت نمک تا حدی بر رفتار تورمی ابر جاذب ها تأثیر دارد به طوری که تورم ابر جاذب در محلول نمکی نسبت به آب دیونیزه شده کمتر است. زیرا با افزایش غلظت محلول نمکی توانایی جذب ابر جاذب کاهش می یابد و این پدیده ناشی از کاهش اختلاف فشار اسمزی بین شبکه پلیمری و محلول خارجی است. همچنین کاتیون محلول نمک ها مختلف است که شامل (Mg^{2+} , Ca^{2+} , K^+ , Na^+) است و باعث می شود که با افزایش غلظت محلول نمکی فشار اسمزی بین شبکه پلیمری و محلول نمکی با افزایش غلظت محلول نمکی کاهش یابد و نفوذ کاتیون به درون شبکه پلیمری کمتر شده و ظرفیت جذب کاهش می یابد [۲۴-۲۵].

از سوی دیگر، اتصال دهنده عرضی نیز با همین هدف و تشکیل یک شبکه سه بعدی در مراحل تهیه هیدروژل ها اضافه می شود. بنابراین با کسب نتایج بهتر در مقادیر مصرف کمتر اسید سیتریک، می توان اظهار داشت که اصلاح حرارتی به عنوان یک مکمل مناسب در عملکرد اتصال دهنده عرضی نقش ایفا کرده است. مکانیسم جذب سیال توسعه یک ابر جاذب می تواند شیمیایی یا فیزیکی باشد [۳]. همان طور که مشاهده شد افزودن مقادیر بالای اتصال دهنده عرضی موجب کاهش جذب آب توسط هیدروژل شد. جذب شیمیایی عمدها تحت تأثیر گروه های عاملی و ویژگی سطح هیدروژل ها است در حالی که جذب فیزیکی متأثر از تخلخل، دسترس پذیری، ساختار شبکه ای و اندازه ذرات است که به نظر می رسد افزودن بیش از حد اتصال دهنده، علاوه بر درگیر کردن گروه های عاملی با یکدیگر، موجب افت ساختار شبکه ای و متخلخل هیدروژل و تراکم بیشتر هیدروژل شده و در نتیجه نفوذ آب به درون شبکه کاهش می یابد [۲۲-۲۳].

۳-۳- ظرفیت جذب در آزمون حساسیت یونی

شکل ۳ مقدار جذب حاصل از آزمون حساسیت یونی هیدروژل های تولید شده از کربوکسی متیل سلولز را نشان می دهد. همان طور که در شکل مشاهده می شود، ظرفیت جذب در هر سه دما (165 , 175 و 180 درجه سانتی گراد) از روند مشخصی پیروی نمی کند. در نمودار 165 درجه سانتی گراد (شکل ۳-ب) مشاهده می شود که ظرفیت جذب محلول نمکی نسبت به آب کمتر بوده به طوری که نمونه شاهد از ظرفیت جذب $0/48$ برخوردار است. با افزایش اتصال دهنده عرضی به سطح 5 درصد ظرفیت جذب به $0/31$ کاهش یافته است که در سطح 20 درصد مشاهده شده است که ظرفیت جذب اسید سیتریک به صفر نزدیک شده و برابر با $0/1$ است که به معنای مقدار جذب برابر محلول نمکی و آب مقطر است. در نمودار 175 درجه سانتی گراد (شکل ۳-الف) مشاهده می شود که نمودار از روند مشخصی پیروی نمی کند به طوری که در نمونه شاهد میزان حساسیت یونی $0/61$ و به یک نزدیک است. افزایش میزان اتصال دهنده عرضی اسید سیتریک در شکل (۵) باعث کاهش بیشتر و روند منفی ظرفیت جذب شده که در واقع بیان کننده جذب بیشتر محلول نمکی نسبت به آب مقطر



شکل ۳- تست حساسیت یونی هیدروژل‌های ایجادشده از کربوکسی متیل‌سلولز؛ (الف) دمای ۱۶۵، (ب) دمای ۱۷۵، (ج) دمای ۱۸۰ درجه سانتی‌گراد

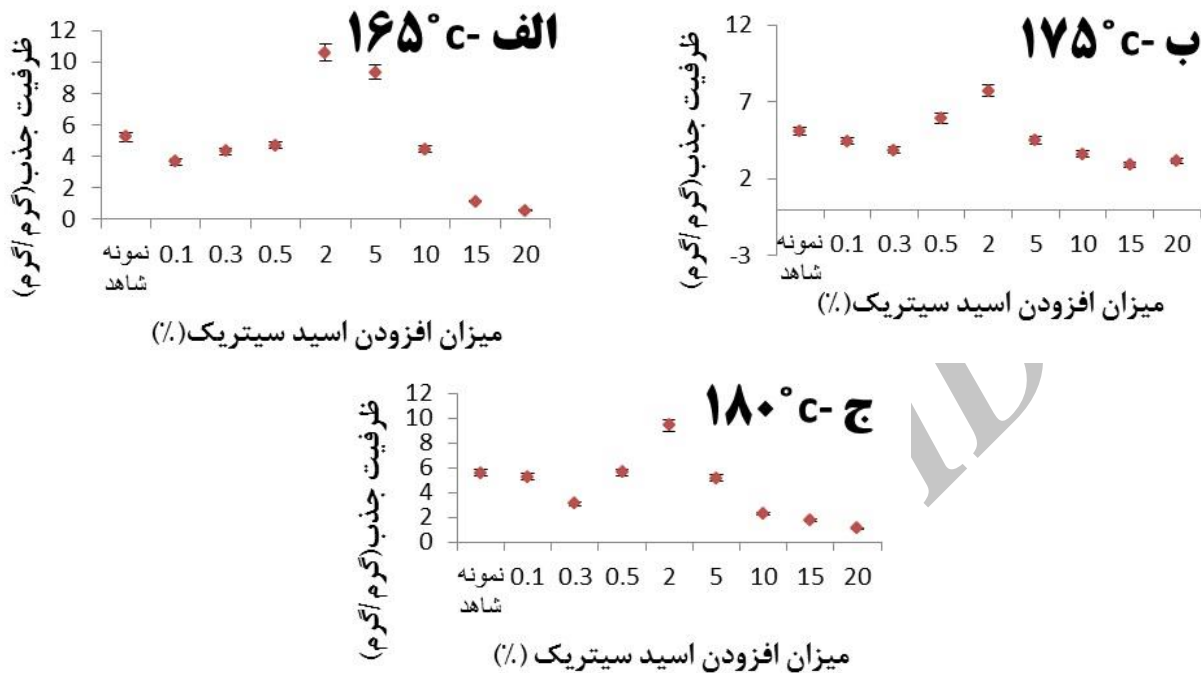
گرم برگرم است. افزودن ۱/۰ درصد اسید سیتریک باعث کاهش این ویژگی به مقدار ۴/۴۳ گرم برگرم می‌شود که با افزایش میزان اتصال‌دهنده عرضی تا سطح افزودن ۲ درصد اسید سیتریک ظرفیت جذب تا مقدار ۷/۷۱ گرم برگرم افزایش می‌یابد. با افزودن مقادیر بیشتر تا ۲۰ درصد، تعییرات این ویژگی در دمای ۱۷۵ درجه سانتی‌گراد نیز مشابه دمای ۱۶۵ درجه است. اعمال اصلاح حرارتی در مقادیر بالاتر (۱۸۰ درجه سانتی‌گراد) نیز مشابه تغییر رفتار هیدروژل در موارد قبلی از روند خاصی پیروی نمی‌کند (شکل ۴-ج). بیشترین میزان ظرفیت جذب مربوط به نمونه ۲ درصد و برابر با ۹/۴۱ گرم برگرم بوده که در سطح افزودن ۵/۰ درصد اسید سیتریک ۶/۵ گرم برگرم است. با افزایش سطح اتصال‌دهنده عرضی در مقادیر بالاتر از ۲ درصد، ظرفیت جذب به مقدار قابل توجهی کاهش می‌یابد. خاطرنشان می‌شود ظرفیت جذب تحت بار در نمونه تجاری تهیه شده ۴۲/۴۸ گرم برگرم است. در کل، با نگاهی به شکل مذکور و مقایسه آن با ظرفیت جذب به روش کیسه چای (جذب بدون بارگذاری و آزادانه) می‌توان گفت که نمونه‌ها در حالت بارگذاری شده آب کمتری جذب کرده و از تورم کمتری برخوردار هستند. از سوی دیگر مشخص است که برای دستیابی به مقادیر بینه‌جذب سیال، افزودن عامل

۴-۳- ظرفیت جذب آزمون تحت بار

شکل ۴ نتایج حاصل از آزمون تحت بار هیدروژل تولیدشده از کربوکسی متیل سلولز اصلاح شده را نشان می‌دهد. همان‌طور که دیده می‌شود سطح افزودن اسید سیتریک تا ۲۰ درصد، در هر سه دمای ۱۶۵، ۱۷۵ و ۱۸۰ درجه سانتی‌گراد ظرفیت جذب کمتر داشته در حالی که در نمونه ۲ درصد اسید سیتریک، از میزان جذب تحت بار بیشتری برخوردار بوده است. همان‌طور که در نمودار ۱۶۵ درجه سانتی‌گراد (شکل ۴-الف) مشاهده می‌شود، نمودار از روند مشخصی پیروی نمی‌کند به‌طوری‌که نمونه شاهد (نمونه اصلاح شده بدون اتصال‌دهنده عرضی) دارای مقدار ظرفیت جذب تحت بار ۲۱/۵ گرم برگرم بوده است که با افزودن ۱/۰ درصد اسید سیتریک مقدار جذب به ۳/۶۳ گرم برگرم کاهش یافته است. در حالی که با افزودن ۲ درصد اسید سیتریک ظرفیت جذب به ۶/۱۰ گرم برگرم افزایش یافته است. همچنین ملاحظه می‌شود از میزان ۵ درصد به بعد با افزودن اسید سیتریک از تورم کاسته شده است، به‌طوری‌که در سطح افزودن ۲۰ درصد اسید سیتریک ظرفیت جذب در حداقل مقدار و برابر با ۳/۰۵ گرم برگرم است. در نمودار ۱۷۵ درجه سانتی‌گراد (شکل ۴-ب) نیز مشاهده می‌شود که نمونه شاهد دارای ظرفیت جذب ۱۲/۵

عامل اتصالدهنده به دلیل شکل‌گیری ناقص شبکه هیدروژل و به تبع آن به وجود نیامدن رفتار الاستیکی و تخلخل کافی از مقدار حداقل تورم کاسته می‌شود [۱۴].

اتصالدهنده عرضی دارای محدوده بهینه است. به عبارتی افزایش میزان اتصالدهنده از مقادیر بیشتر از ۲ درصد به علت کاهش رفتار الاستیکی شبکه هیدروژل موجب کاهش میزان تورم می‌شود و در سطوح افزودن کمتر از ۲ درصد

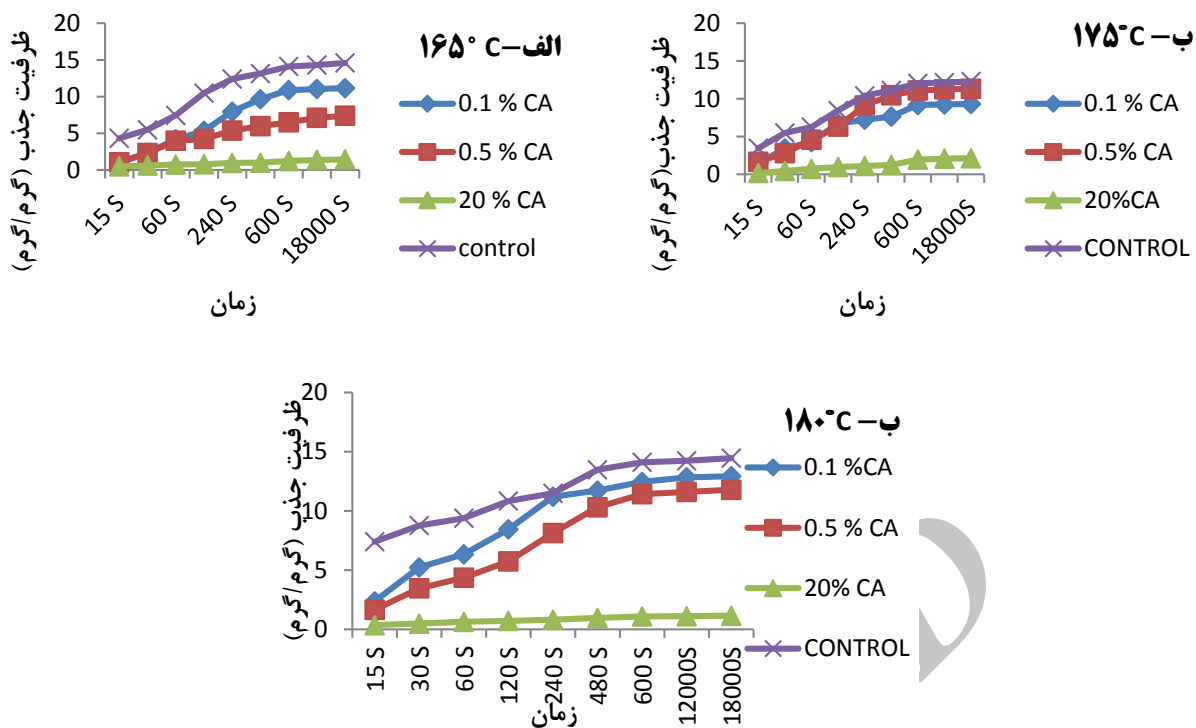


شکل ۴- نتایج حاصل از آزمون تحت بار کربوکسی متیل سولز اصلاح شده؛ (الف) دمای ۱۶۵، (ب) دمای ۱۷۵، (ج) دمای ۱۸۰

درجه سانتی‌گراد را نشان می‌دهد که مشاهده می‌شود سرعت جذب در سطح ۰/۱ درصد اتصالدهنده از روند صعودی پیروی می‌کند که مشابه شکل ۵-الف در فاصله زمان ۱۵ تا ۴۸۰ ثانیه جذب سیال رابطه مستقیمی با زمان ۶۰۰ قرارگیری در معرض سیال دارد و در فاصله زمانی ۱۸۰۰۰ ثانیه روند جذب سیال تقریباً ثابت و یکنواخت است. در نمونه شاهد نیز سرعت جذب از ۵۰ تا ۱۸۰۰۰ صعودی و کاملاً خطی است که در زمان ۶۰۰ تا ۱۸۰۰۰ میزان جذب تقریباً ثابت است. در شکل ۵-ج دمای ۱۸۰ درجه سانتی‌گراد نیز روند تغییرات مشابه با دو دمای ۱۶۵ و ۱۷۵ درجه سانتی‌گراد است بهطوری که سرعت جذب نمونه شاهد تقریباً بهصورت خطی افزایش می‌یابد. در واقع هرچه اندازه ذرات کوچک‌تر باشد سرعت جذب بیشتری دارند زیرا در آنها نسبت سطح به حجم، به‌واسطه سرعت نفوذ آب درون شبکه هیدروژل، افزایش یافته است [۱].

۳-۵- آزمون اندازه‌گیری زمان تورم

شکل ۵ نتایج حاصل از آزمون اندازه‌گیری زمان تورم و به عبارتی سرعت جذب سیال را نشان می‌دهد. همراه با افزایش زمان تورم، میزان سیال جذب شده افزایش یافته و پس از سپری شدن یک زمان معین، میزان جذب ثابت می‌شود. شکل ۷-الف سرعت جذب سیال در دمای ۱۶۵ درجه سانتی‌گراد را نشان می‌دهد که مشاهده می‌شود در سطح افزودن ۰/۱ درصد اتصالدهنده عرضی از زمان ۱۵ تا ۴۸۰ ثانیه میزان جذب سریع بوده و نمودار روندی صعودی را طی می‌کند درحالی که از زمان ۶۰۰ تا ۱۸۰۰۰ ثانیه روند تقریباً ثابت و یکنواخت است. در سطح افزودن ۰/۵ درصد نیز روند تقریباً مشابه با ۰/۱ درصد است، با این تفاوت که در محدوده زمانی ۱۲۰۰۰ تا ۱۸۰۰۰ روند جذب بهصورت تقریباً ثابتی صورت می‌گیرد. در سطح افزودن ۰/۲ درصد اتصالدهنده عرضی میزان جذب از زمان ۱۵ تا ۱۸۰۰۰ ثانیه یکنواخت و ثابت است. شکل ۵-ب نمودار



شکل ۵- نتایج حاصل از آزمون اندازه‌گیری زمان تورم کربوکسی متیل سلولز اصلاح شده؛ (الف) دمای ۱۶۵، (ب) دمای ۱۷۵، (ج) دمای ۱۸۰

مذکور، میزان تورم هیدروژل را کاهش می‌دهد. از سوی دیگر، اصلاح حرارتی و کاهش میزان اتصال دهنده عرضی برای دستیابی به مقادیر بهینه جذب سیال تحت بار دارای محدوده بهینه ۲ درصد است. به عبارتی افزایش میزان اتصال دهنده از مقادیر بیشتر از ۲ درصد به علت کاهش رفتار الاستیکی شبکه هیدروژل موجب کاهش میزان تورم می‌شود.

پنجه‌نوشت‌ها

- ¹ Hydrogel
- ² Gel
- ³ Linter
- ⁴ Superabsorbent
- ⁵ Hercules Powder Company

منابع

- [1] Buchholz F L, Graham A T. Modern Superabsorbent Polymer Technology. New York: Wiley- VCH; 1997. p. 304.
- [2] Brannon-Peppas L, Harland R S. Absorbent Polymer Technology. Amsterdam: Elsevier 1990. p. 288.
- [3] Zohuriaan-Mehr M J, Kabiri K. Superabsorbent Polymer Materials: A Review. Iranian Polymer Journal; 2008; 17(6):451-477.

۴- نتیجه‌گیری

تحقیق حاضر بر تولید هیدروژل سلولزی از کربوکسی متیل سلولز اصلاح شده به روش حرارتی با هدف کاهش مصرف اتصال دهنده متمرکز شده است و نتایج بیانگر آن است که تیمار حرارتی می‌تواند با تغییر در ساختار شیمیایی به طور موافقی آمیزی کربوکسی متیل سلولز را انحلال ناپذیر سازد و بر این اساس سه دمای ۱۶۵، ۱۷۵ و ۱۸۰ درجه سانتی‌گراد به ترتیب در زمان‌های ۶۰، ۱۲۰ و ۴۵ دقیقه به عنوان تیمارهای حرارتی مطلوب انتخاب شدند. از سوی دیگر، اصلاح حرارتی کربوکسی متیل سلولز در کلیه دمایها موجب کاهش نیاز به مصرف اتصال دهنده شده به طوری که بسیاری از ویژگی‌های مربوط به ظرفیت جذب هیدروژل در مقادیر اندک افزودن اتصال دهنده (۰/۱-۰/۵ درصد) در حد بهینه بود. بر همین اساس، بهترین میزان استحکام هیدروژل در مصرف ۰/۱ درصد اتصال دهنده در همه دمایها حاصل شد. همچنان، برای همه ویژگی‌های بررسی شده هیدروژل تولید شده، میزان ۰/۱ درصد مصرف اتصال دهنده در دمای ۱۸۰ درجه سانتی‌گراد از بالاترین مقدار برخوردار بود به استثنای ویژگی حساسیت یونی که در میزان مصرف ۰/۵ درصد اسید سیتریک دارای مقدار مطلوب‌تری بود. به طور کلی، افزایش اتصال دهنده عرضی بیش از مقادیر

- [16] Zohuriaan-Mehr M J, Pourjavadi A. Superabsorbent hydrogels from starch-g-PAN: Effect of some reaction variables on swelling behavior. *Journal of Polymer Materials*; **2003**; *20*:113–120.
- [17] Fellah B H, Weiss P, Gauthier O, Rouillon T, Pilet P, Daculsi G, Layrolle P. Bone repair using a new injectable self-crosslinkable bone substitute. *Journal of Orthopaedic Research*; **2006**; *24*(4):628-635.
- [18] Doo-Won L, Kee-Jong Y, Sohk-Won K O. Synthesis of AA-based superabsorbent interpenetrated with sodium PVA sulfate. *Journal of Applied Polymer Science*; **2000**; *78*:2525-2532.
- [19] Zohuriaan-Mehr M J. Super-Absorbents. Tehran, Iran, Iran Polymer Society; **2006**. P. 76. [In Persian]
- [20] Leeki Y, Lee Ch-M. Swelling Behaviors of Superabsorbent Hydrogels Containing Carboxymethyl Chitosan and Carboxymethyl Cellulose. *Journal of Chitin and Chitosan*; **2015**; *20*(2):90-94.
- [21] Buchholz F L, Peppas N A. Superabsorbent Polymers Science and Technology. ACS Symposium Series. Washington, DC: American Chemical society; **1994**. p. 573.
- [22] Hebeish A, Hashem M, El-Hady M A, Sharaf S. Development of CMC hydrogels loaded with silver nano-particles for medical applications. *Carbohydrate polymers*; **2013**; *92*(1):407-413.
- [23] Shalaby S W, Burg K J L. Absorbable and Biodegradable Polymers. Taylor & Francis e-Library; **2003**. p. 289.
- [24] Bao Y, Ma J, Li N. Synthesis and swelling behaviors of sodium carboxymethyl cellulose-g-poly (AA-co-AM-co-AMPS)/MMT superabsorbent hydrogel. *Carbohydrate Polymers*; **2011**; *84*(1):76-82.
- [25] Wen X X, Bao D S, Chen M J, Zhang A P. Preparation of CMC/HEC Crosslinked Hydrogels for Drug Delivery. *Bioresources*; **2015**; *10*(4):8339-8351.
- [4] Omidian H, Hashemi S A, Sammes P G, Meldrum I. Modified acrylic-based superabsorbent polymers (dependence on particle size and salinity). *Polymer*; **1999**; *40*:1753-1761.
- [5] Liu Y, Chen Y, Zhao Y, Tong Z R., Chen S S. Superabsorbent Sponge and Membrane Prepared by Polyelectrolyte Complexation of Carboxymethyl Cellulose/Hydroxyethyl Cellulose-Al³⁺. *Bioresources*; **2015**; *10*(4):6479-6495.
- [6] Sannino A, Esposito A, Nicolais L, Del Nobile M A, Giovane A, Balestrieri C, Esposito R, Agresti M. Cellulose-based hydrogels as body water retainers. *Journal of Materials Science*; **2009**; *11*(4):247-253.
- [7] Ogushi Y, Sakai S, Kawakami K. Synthesis of enzymatically-gellable carboxy methyl cellulose for biomedical applications. *Journal of Bioscience and Bioenergy*; **2007**; *104*(1):30-33.
- [8] Adel A M, Abou-Youssef H, El-Gendy A A, Nada A M. Carboxymethylated Cellulose Hydrogel; Sorption Behavior and Characterization. *Nature and Science*; **2010**; *8*(8):244-256.
- [9] Astrini N, Anaha L, Haryono A. Crosslinking Parameter on the Preparation of Cellulose BasedHydrogel with Divinylsulfone. *Procedia Chemistry*; **2012**; *4*:275 – 281.
- [10] Harsh D C, Gehrke S H. Controlling the swelling characteristics of temperature-sensitive cellulose ether hydrogels. *Journal of Controlled Release*; **1991**; *17*:175-186.
- [11] Demitri C H, Sole R D, Novel Superabsorbent Cellulose-Based Hydrogels Crosslinked with Citric Acid. *Journal of Polymer Science*; **2008**; *4*(15):2453–2460.
- [12] Elliot E S. Heat-Treated Alkali-Metal Carboxymethyl Cellulose and Process of preparing it. US 2,639,239, **1953**.
- [13] Raucci M G, Alvarez-Perez M A. Effect of citric acid crosslinking cellulose-based hydrogels on osteogenic differentiation. *Journal of Biomedical Material Research: Part A*; **2015**; *103A*:2045–2056.
- [14] Marci G, Mele G, Palmisano L, Pulito P, Sannino A. Environmentally sustainable production of cellulose-based superabsorbent hydrogels. *Green Chemistry*; **2006**; *8*(5):439-444.
- [15] Pourjavadi A, Mahdavinia G R, Zohuriaan-Mehr M J. Modified chitosan. II. H-ChitoPAN, a novel pH-responsive superbabsorbent hydrogel. *Journal of Applied Polymer Science*; **2003**; *90*:3115-3121.

